

I-222 高張力鋼の広幅試験結果について

東京大学 工学部	正員	奥村敏恵
都立大学 工学部	正員	坂川浩甫
阪神高速道路公団	正員	窪戸松二
阪神高速道路公団	正員	○水元義久

1. まえがき

阪神高速道路南港連絡橋は大量の高張力鋼を使用した溶接構造物である。一般に溶接構造物におけるはある程度の欠陥、すなはち製作途上における目違いや溶接による角変形あるいは残留応力、溶接欠陥等は避け得ないものである。一方、70%以上以上の高張力鋼はその特性のひとつとして一般に降伏比が高くかつ一様伸びが小さいことがあげられる。すなはち、HT80等の調質鋼はひずみ硬化の程度が小さく降伏後最高荷重に至るまでの余力が少なく破断に至るまでの伸びが少ない。この一様伸びが少いことは塑性流れか悪く応力の平均化が余り期待出来ず、局部的には応力集中が構造物の破壊耐力に支配的要素となり、低荷重で破壊する危険性を有する。

そこで高張力鋼を使用した構造物の安全性を評価する場合、上記の特性に対する欠陥と実用上どこまで許容されるか非常に重要な問題となる。今回、下記のような施工基準と施工誤差許容値とした場合、この許容される条件のもとで施工した構造部材が使用条件に対する安全かを以下により確認した。

- (施工誤差および変形の条件)
- a. 目違 --- 板厚の10%以内かつ3mm以内
 - b. 角変形 --- 1000mm入ハニに付し10mm以下

2. 試験概要

供試材の材質はHT80を用いて試験を行なった結果でHT70以下の材質と評価して充分安全と考え、HT80を用いた。基本的な試験片形状は図-1に示される形状のものとした。供試材の最大板厚は南港連絡橋の引張部材の最大板厚にはば合はせるとともに、試験片の幅Bと板厚オーバーの関係即ち B/δ を10程度以上確保するため63mmとした。各板厚の試験片とも同様であるが、 δ の溶接熱量はサブマージアーケット溶接で40,000J/mm ~ 50,000J/mm、MIG溶接で20,000J/mm ~ 30,000J/mmと実橋の施工条件と合わせ、使用溶接棒強度は80kg/mm²のものを使用した。

(1). サブマージアーケット溶接とMIG溶接の比較 (Type-1)

本試験における最大板厚63mm材につけてサブマージアーケット溶接とMIG溶接の名々により突合せ溶接施工されたものの試験を行なう、溶接法の相違が破壊性状へ如何なる影響を与えるかを調査した。試験温度はこの橋梁が相遇するであろう最低温度の-10℃と安全側の余裕を確認するため-35℃とした。突合せ溶接の余盛は削除せずそのままとする。試験片は溶接のままの状態で試験に供し、SR等の応力除去は行なわれないものである。

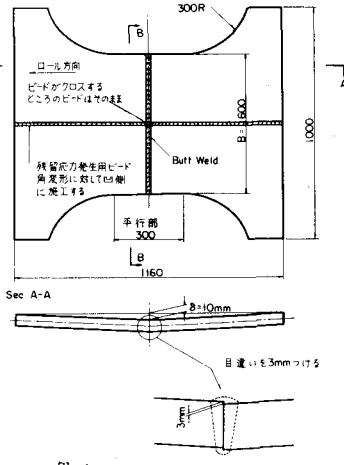


図-1 63mm幅試験片形状

(2). 板厚効果試験 (Type-1)

限られた試験片により全体を評価するためには従来他の構造物工行象として行なわれて来たこの種の試験との比較を容易にするため Type-1 により板厚を変化させ、試験温度を固定して試験を実施した。

(3). 低応力破壊発生限界の調査 (Type-1)

板厚効果試験と同様に低応力破壊発生限界は従来のデータとの比較を温度の軸に対して関連づけておく必要がある。そこで、板厚を 38mm, 50mm の 2 つに固定し、試験温度を -40°C より -100°C の間変化させ試験を実施した。

(4). 残留応力の影響調査 (Type-2, 3, 5.)

実構造物は端断面形成のためのカド溶接およびリブのスミ内溶接が施されるが、これらの溶接により生ずる残留応力の影響を調査した。Type-5 のようほどのビードなしの試験と Type-1, 2, 3 は示すように残留応力発生用ビードの設置法を変化させ残留応力の分布を変化させこの試験と比較し、その影響を調査した。板厚は 38mm、試験温度は -10°C と固定した。なお、残留応力発生用ビードは図-3 の要領で施工した。

(5). 横收縮拘束の調査 (Type-4)

実構造物におけるフランジ、ウェブが互に干渉し合ったり、あるいは端部においてダイヤフラムの影響等により横方向拘束が拘束され应力多軸化の様相か他の場合に比し異なることが予想される。そこで図-2 の Type-4 に示されたように不等厚の突合せ溶接を行ない厚い方の鋼板を弹性域におき、薄い方の鋼板を塑性化を破断させ、横收縮拘束の影響を調査した。

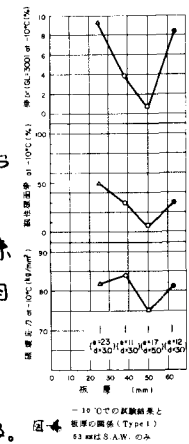
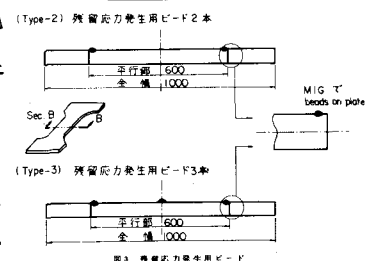
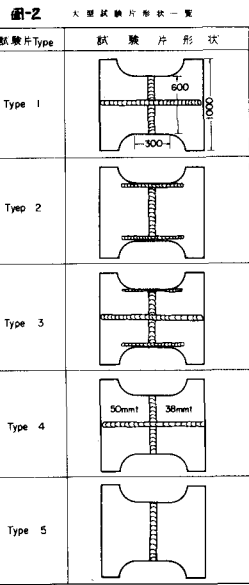
3. 試験結果および考察

(1). 板厚の効果について

破壊発生特性に及ぼす板厚の効果は従来板厚 40mm 程度で飽和すると云われている。一方本試験結果は図-4 の如く、板厚の効果は大きく板厚 50mm での破壊応力、破面率および伸びの低下が見られる。しかし、リグル降伏点以上の高応力破壊であること、および試験片の角変形で、目盛りの結果なることから板厚の効果は本圖より云々出来ない。また図-6 から 38mm と 63mm の破壊応力および破面の遷移挙動を見ても角変形、目盛り結果なるため板厚の効果を読みとることは出来ない。

(2). 低応力発生限界について

図-6 は試験結果を試験温度と破壊応力、塑性破面率との関係で整理したものである。本圖より十字溶接によリ残留応力を附加した試験片の低応力破壊発生限界温度は 38, 50mm 共 -10°C ~ -20°C であり、また溶接残留応力付加ビードなしのそれは -30°C であることが判る。一方、南港車轍橋の通過すると思われる最低温度は -10°C であることから本試験の図-6 からは充分安全サイドに低応力破壊発生限界温度があるとは云えない。しかし本試験の角変形、目盛りからみて 15~30mm スパン、



2.5~5.5^{mm} であった事から考えると実際施工基準である角変形量10°/1mスパン、目標値3^{mm}の場合ではこの温度より安全側(低温側)にシフトすることが予想される。

(3). 溶接残留応力の影響

38°^m びの溶接残留応力付加ピードの影響は図-6より約10°Cと見ることが出来る。この値は従来の結果に比し少々高値であるが角変形が異なる影響が考慮される。図-5に溶接残留応力付加方法の差を示す。三軸応力度と溶接残留応力分布から理論的には最も低応力破壊生じ難いと考えられる Type-2 は破壊応力および伸びの低下が認められる。反対に、いつれの試験片で -10°C では降伏点以上の高応力破壊であることがから溶接残留応力付加方法の差は明らかである。

(4). K值 12±3 整理

それと、試験片の角変形量、目隠し角等とから前述のように板厚効果および溶接残留応力の影響が明らかでない。また角変形 $10^{\circ}/1m$ スパン、目隠し 3° と云う実際施工基準での低応力破壊発生限界温度が本橋の最低使用温度 -10°C に対しどれだけ安全サイドにあるかを推定する必要がある。

そこで次に示す K 値の値により、 γ 結果を整理し被覆時の K と湿度との関係を求めた。

①表面切欠に対する K_c 値

$$K_c = f(c/B) \frac{x_1}{x} \sigma \sqrt{\pi c} + b Y_B \frac{f'(c/B)}{f(x_1)} \cdot \frac{x_1}{x} \cdot \frac{e^{K_0} + d K_a}{x} \cdot \sigma \sqrt{c} \quad \dots \quad (1)$$

②長さ表面切欠に対する K_c 値

$$K_c = f(\frac{t}{t_0}) \cdot \sigma \sqrt{\pi t_0} + \delta Y_B \frac{e k_e + d k_a}{t} \cdot \sigma \cdot \sqrt{\pi t_0} \quad \dots \dots \dots (2)$$

$$f(c/B) = \sqrt{\frac{2B}{\pi c}} \tan \frac{\pi c}{2B}$$

$$f(t_1/t) = \sqrt{\frac{2t}{\pi t_1}} \tan \frac{\pi t_1}{2t}$$

$$Y_B = 1.99 - 2.47(\lambda/t) + 12.97(\lambda/t)^2 - 23.17(\lambda/t)^3 + 24.80(\lambda/t)^4$$

$$K_e = \frac{1}{2} \cdot \frac{\tanh m/2}{m/2}$$

$$K_d = \frac{\sinh \lambda m \{ \cosh(1-\lambda)m - \lambda \}}{\lambda (1-\lambda)m \cosh m}$$

$$m = \sqrt{3(1 - r^2) \cdot \frac{\sigma_E}{E}} \cdot \frac{l}{t}$$

大：切欠深さ

寸：板厚

C: 切欠長 \approx の $1/2$

B : 試驗片半幅

ϵ : 角变形量(弧度)

l: 變形部長さ(耐候片長さ)

d: 目差量(目差幅)

$$\lambda: b/l$$

E: $\tau = \gamma^{\text{平}}$

ノ・ホアリニビ

σ : 破壊応力(グロス応力)

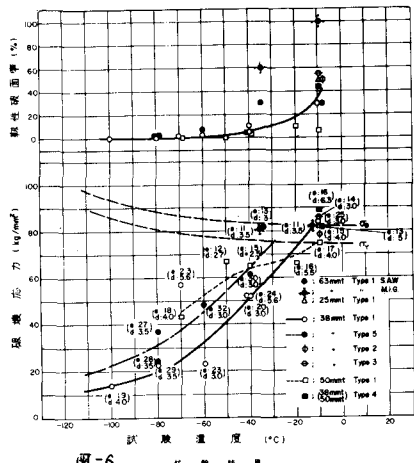
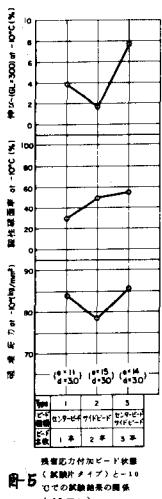


圖-6 試驗結果

さて、本試験のように人工切欠を付ける溶接継手では視覚により確認できることは切欠からくるも、破壊発生点である溶接止端部は形状的に応力集中の原因になることから一種の切欠とみなし、これを試験片全幅に亘って“相当切欠深さ” a' とし、 a' を 1.5mm と仮定して K_c 値と温度の関係を求めたのが図-1である。すなわち K_c 値と絶対温度の逆数との関係はほぼ直線で整理できる。

4. まとめ

図-7から板厚の効果、残留応力の影響および実際施工基準での破壊応力を推定して下記結論を得た。

(1). 板厚の効果

図-7に示すとおり38mm, 50mmおよび63mmのK_c値にはほとんど差はない同じK_c値直線で示される。これは40°C程度以上では破壊脆性特性によれば板厚の効果がないことを示している。

(2). 併用応力破壊発生限界温度の推定

(2)式を用い角変形量、目盛り量の異なる今回の破壊応力から実際施工基準の角変形10%/1m入ハン、目盛り3mmの場合の破壊応力を推定して結果が図-8である。図-8より併用応力破壊発生限界温度は38°C~-31°C, 50mm~-38°C, 63mm~-44°Cと推定出来る。

(3). 溶接残留応力の影響

図-7, 図-8より十字溶接による溶接残留応力付加の影響は30°Cと見ることが出来る。従来の試験でこの影響は30°C~60°Cの間に変化しておりか本試験の30°Cは溶接残留応力付加を片面のみのBend on Plate 110度の施工を考慮すると妥当な値であろう。

(4). 種々の大工の切欠が存在する場合の安全性について

実際構造物の溶接継手では角変形、目盛りの他、われ等の溶接欠陥を考慮する必要があるから、切欠のある場合の使用条件下で安全性の確認が必要である。このように切欠が先在している場合(1), (2)式により解析が可能となる。すなむち併用使用温度、設計応力、施工基準での角変形、目盛りの量がわかれば図-7のK_c値と(1), (2)式を用いて併用条件下で許容しうる切欠の大きさが推定できる。ただし、この一例として図-9に併用使用温度を-10°C、角変形、目盛りを10%/1m入ハン、3mmとして残留応力の高さ場合の板厚と応力レベル毎の許容しうる切欠深さと長さの関係を示す。図-9

例えば、球形タンクの南設検査で発見された大工の溶接および長さである5m×80mm長さの切欠が本槽に存在する場合、許容応力にはほぼ等しい35kg/mm²の場合はすなむち降伏応力の70kg/mm²の場合(2)、(1)式の使用条件下で安全であると推定することが出来る。

最後に本試験における色々御協力下さいました運輸省船舶技術研究所の関係各位に謝意を表します。

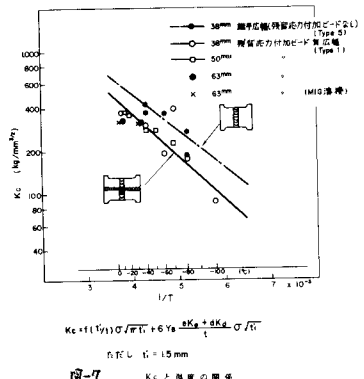
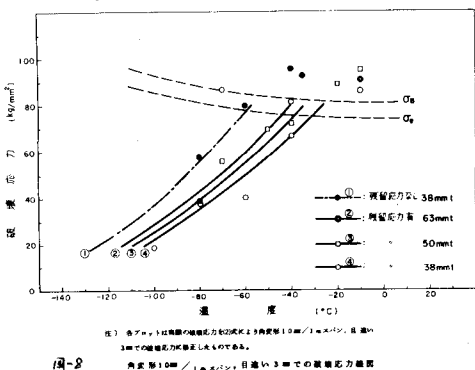
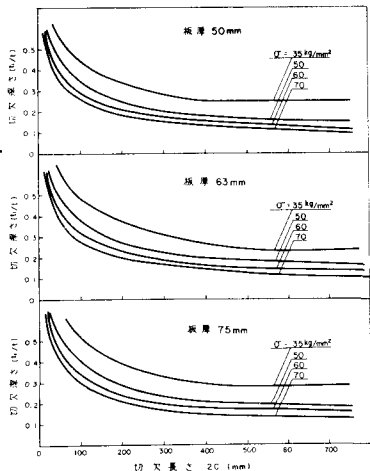


図-7 K_cと並葉の関係



注(2) 各プロットは実際の破壊応力を考慮した角変形10%/1m入ハン、目盛り3mmでの結果を示したものである。
荷重 第1回 100度/1m入ハン、目盛り3mmでの破壊応力範囲



注(3) 許容使用温度 = -10°C、角変形10%/1m入ハン、目盛り3mmでの許容しうる
切欠の最大寸法の関係(実測応力の高い場合)

- (文献) (1) 木原、池田、造船学会論文集 No. 118
(2) 伊藤、田中、造船学会論文集 No. 129
(3) 高圧力 1969 Vol. 7 No. 5.